

УДК 538.115

**О ФЛУКТУАЦИОННОМ МЕХАНИЗМЕ ВОЗНИКОВЕНИЯ
ТЕПЛОВОГО МАГНИТНОГО МОМЕНТА
В ЭЛЕКТРОННОЙ ЖИДКОСТИ СПЛАВА Y_2Ni_7**

O. M. Толкачев

Сформулирована теория флюктуационного механизма магнитных фазовых переходов в электронной жидкости проводящих магнетиков. Результаты развитого подхода применены для интерпретации экспериментов по магнитному состоянию сплава Y_2Ni_7 . Разработанная модель объясняет форму экспериментально исследованной зависимости намагниченности сплава Y_2Ni_7 от температуры $M(T)$ в интервале $7 \text{ K} < T < 58 \text{ K}$. Наша теория устраняет имевшееся ранее противоречие между экспериментом и теоретической кривой $M(T)$. На основании имеющихся данных о теплоемкости, магнитной восприимчивости, плотности состояний и намагниченности определены фермийжидкостные константы для Y_2Ni_7 . Сформулированы и проанализированы условия равновесия двухкомпонентной электронной жидкости применительно к изучаемому сплаву.

1. Фазовые переходы в проводящих магнетиках привлекают в настоящее время внимание как теоретиков, так и экспериментаторов [1-8]. Наибольший интерес вызывают такие соединения, для которых имеются экспериментальные данные по теплоемкости, намагниченности, магнитной восприимчивости при разных температурах. Одним из таких веществ является сплав Y_2Ni_7 . В этом сплаве [9, 10] при температурах от 7 до 58 К возникает зависящая от температуры спонтанная намагниченность $M(T)$ — так называемый «тепловой магнитный момент» (ТММ). Выше 58 К и ниже 7 К намагниченность отсутствует. Существовавшие до настоящего времени теории [5, 9, 11] не давали удовлетворительного объяснения формы кривой $M(T)$ и величины наибольшего значения намагниченности при $T=40 \text{ K}$ в сплаве Y_2Ni_7 . Использованные в [11] модели, отвечающие стонеровской [12] теории и ее модификациям, приводили к противоречию с экспериментом, а в развитой в [11] модели, учитывающей ферромагнитные флюктуации в однокомпонентной электронной системе, не удалось продемонстрировать возникновение ТММ при наличии парамагнитного основного состояния при $T=0$. Форма кривой $M(T)$ и наибольшее значение намагниченности $M(40 \text{ K})$, полученные в [9], базирующейся на теории [5], без учета флюктуаций, находятся в противоречии с экспериментально измеренными [10]. Развитая в настоящей работе флюктуационная модель возникновения ТММ в Y_2Ni_7 , отличается от [9-11] прежде всего рассмотрением двухкомпонентной электронной жидкости (ср. [4]), в которой возникает качественно новая по сравнению с [5, 9, 11] возможность существования как ферро-, так и ферри- или антиферромагнетизма в основном состоянии при различных температурах. Возникновение такого принципиально нового объяснения ТММ, устраняющего имевшиеся ранее противоречия, связано с учетом в нашей модели в разложении свободной энергии F (подобно [2]) помимо слагаемых, пропорциональных вектору ферромагнетизма M_0 , также слагаемых, пропорциональных вектору антиферромагнетизма M_Q , не учитывавшихся ранее в [5, 11]. Наша теория, объясняющая форму кривой $M(T)$, исходит из предположения, что выше 58 К основное состояние Y_2Ni_7 является парамагнитным,

в интервале 40—58 К — ферромагнитным, от 7 до 40 К — феримагнитным, ниже 7 К — антиферромагнитным. Подчеркнем, что предположение о наличии антиферромагнитного основного состояния в Y_2Ni_7 , при $T < 7$ К не является общепринятым. Напротив, в [10] основное состояние при $T < 7$ К считается парамагнитным. Однако такой вывод сделан не на основе нейтронографических исследований, а на базе анализа кривых $M(B)$ (B — внешнее магнитное поле), демонстрирующих свойство $M(0)=0$ при $T > 58$ и $T < 7$ К. На наш взгляд, отсутствие полной намагниченности $M(T)$ при $T < 7$ К не может быть однозначно интерпретировано как антиферромагнитное или парамагнитное основное состояние. Как уже говорилось, форма кривой $M(T)$, найденная в настоящей работе, согласуется с экспериментом существенно лучше, чем в [9]. Одной из целей нашей работы является указание на необходимость тщательного экспериментального изучения основного состояния Y_2Ni_7 , при $T < 7$ К. Если окажется, что основное состояние при $T < 7$ К антиферромагнитно, то это будет дополнительным аргументом в пользу модели, разработанной в настоящей работе. Целью работы является также определение на основе экспериментальных данных фермижидкостных параметров для Y_2Ni_7 .

2. Исследование температурных фазовых переходов в проводящих магнетиках с учетом флуктуаций начнем с записи выражения для свободной энергии двухкомпонентной электронной жидкости (ср. [4])

$$V^{-1}F(T, V, M_c, M_Q) = V^{-1}F_0 - \nu(\pi zT)^2/3 + M_0^2[1 - T^2/T_0^2 + \gamma_u\chi_0(3\langle m_{0z}^2 \rangle + 2\langle m_{0\perp}^2 \rangle) + + \gamma_{us}\chi_0(\langle m_{Qz}^2 \rangle + 2\langle m_{Q\perp}^2 \rangle)/2]/2\chi_0 + M_Q^2[1 - T^2/T_Q^2 + \chi_Q\gamma_s(3\langle m_{Qz}^2 \rangle + 2\langle m_{Q\perp}^2 \rangle) + + \gamma_{us}\chi_Q(\langle m_{0z}^2 \rangle + 2\langle m_{0\perp}^2 \rangle)/2]/2\chi_Q + \gamma_u M_0^4/4 + \gamma_s M_Q^4/4 + \gamma_{us}M_0^2 M_Q^2/2. \quad (1)$$

Здесь F_0 — свободная энергия при $M_0=M_Q=0$ и $T=0$; V — объем металла; χ — постоянная Больцмана; ν — плотность энергетических состояний на уровне Ферми; M_0 , M_Q — соответственно модули векторов ферро- и антиферромагнетизма (ср. [2, 4, 13]); $\langle m_{\alpha z}^2 \rangle$ — средний квадрат магнитной флуктуации; $\alpha=0, Q$; $\lambda=z, \perp$. Входящие в (1) выражения имеют, согласно [4], следующий вид:

$$\frac{1}{\chi_0} = \frac{1 + 2(\bar{\psi} + \psi)\nu}{2\beta^2\nu}, \quad \frac{1}{\chi_Q} = \frac{1 + 2(\bar{\psi} - \psi)\nu}{2\beta^2\nu}, \quad \gamma_u = -\frac{\alpha'_3 C_+}{48\beta^4\nu}, \quad \gamma_s = \frac{\alpha'_3 C_-}{48\beta^4\nu}, \\ \gamma_{us} = -\frac{\alpha'_1 \sqrt{C_+ C_-}}{16\beta^4\nu^3}, \quad T_0^2 = \frac{6B_+}{(\pi z)^2 \alpha'_1} = T_F^2 |B_+|, \quad T_Q^2 = \frac{6B_-}{(\pi z)^2 \alpha'_1}, \quad \alpha_u = \frac{\nu'}{\nu u}, \\ B_\pm = 1 \mp \vec{B} \pm B.$$

Здесь ν' — производная плотности состояний на уровне Ферми; ψ , $\bar{\psi}$ — фермижидкостные константы межзонного и внутризонного взаимодействия; β — магнитный момент электрона. Безразмерные параметры B и \vec{B} определены равенствами $B=2\psi\nu$, $\vec{B}=2\bar{\psi}\nu$. Вклад C_\pm обусловлен учетом фермижидкостных констант Φ и $\bar{\Phi}$ (ср. [4]). Средний квадрат магнитной флуктуации $\langle m_{\alpha z}^2 \rangle$ определяется мнимой частью динамической восприимчивости [14, 15]

$$\langle m_{\alpha z}^2 \rangle = \frac{1}{(2\pi)^3} \langle m_{\alpha z}^2(q) \rangle, \quad \langle m_{\alpha z}^2(q) \rangle = 4\pi \int_0^\infty \frac{d\omega}{2\pi} n(\omega) \operatorname{Im} \gamma_{\alpha z}(i\omega, \omega), \\ n(\omega) = [\exp(\hbar\omega/kT) - 1]^{-1}.$$

Мы рассмотрим при вычислении $\langle m_{0\perp}^2 \rangle$ парамагнитную область, в которой выполняются условия

$$\omega, qv < \hbar\Omega_v, \quad q \geq q_{su} \equiv k_F |\hbar\Omega_1/\varepsilon_F|. \quad (2)$$

Здесь v , ε_F , $\hbar k_F=p$ — значения скорости, энергии, импульса электрона на уровне Ферми. На основании [16, 17] получаем выражение для динамической восприимчивости двухкомпонентной электронной жидкости в области (2)

$$\chi_{0\perp}^{-1}(q, \omega) = 2\chi_{0\perp}^{-1}(q) [1 - i\omega\Gamma_{\perp}^{-1}(q)], \quad (3)$$

где $\chi_{0\perp}^{-1}(q) = \chi_{0\perp}^{-1} + C_0 q^2$; $\chi_{0\perp}^{-1} = A_0 + \gamma_u M_0^2 = B/M_0$; $\Gamma_{\perp}(q) = q\gamma\chi_{0\perp}^{-1}(q)$; $\gamma = 2v\chi_p/\pi$; $C_0 = [12k_F^2\chi_p]^{-1}$. Здесь A_0 — коэффициент перед $M_0^2/2$ в (1), $\chi_{0\perp}^{-1} = B_+\chi_p$, $\chi_p = 2\beta^2 v$. Обозначения приведены в соответствие с работой [14]. Используя (3), вычислим парамагнитный вклад в поперечную флуктуацию

$$\langle m_{0\perp}^2(q) \rangle = 4\hbar \int_0^\infty \text{Im } \chi_{0\perp}(q, \omega) n(\omega) d\omega/2\pi = 4\hbar\pi^{-1} \int_0^\infty \omega d\omega \chi_{0\perp}(q) [\exp(\hbar\omega/kT) - 1]^{-1} \times \\ \times \Gamma_{\perp}^{-1}(q) [1 + \omega^2/\Gamma_{\perp}^2(q)]^{-1} = zT\chi_{0\perp}(q) g(q),$$

где [18]

$$g(z) = 4z \{\ln z - (2z)^{-1} - \psi(z)\} \simeq 2/(1+6z).$$

Здесь $\psi(z)$ — ψ -функция Эйлера. Получаем ($z = \hbar\Gamma(q)/2\pi kT$)

$$\langle m_{0\perp}^2 \rangle = \frac{zT}{2\pi^2} \int_{q_{sw}}^{k_F} q^2 dq \chi_{0\perp}(q) g(z) = \frac{zT}{\pi^2 C_0^{1/2} \chi_{0\perp}^{1/2}} \int_{x_1}^{x_2} \frac{x^2 dx}{(1+x^2)[1+\xi_{\perp}x(1+x^2)]}. \quad (4)$$

Здесь

$$x = \sqrt{C_0\chi_{0\perp}} q, \quad \xi_{\perp} = 3\hbar\gamma/\pi zT\chi_{0\perp}^{1/2}C_0^{1/2}, \quad x_1 = \sqrt{C_0\chi_{0\perp}} q_{sw}, \quad x_2 = \sqrt{C_0\chi_{0\perp}} k_F.$$

В пределе стремящегося к нулю магнитного поля получим

$$\langle m_{0\perp}^2 \rangle = (zT/\pi^2 C_0) \int_{q_{sw}}^{k_F} dq [1 + 3\hbar\gamma C_0 \chi_{0\perp}^{1/2}/\pi zT]^{-1}.$$

При выполнении условия $q_{sw}^3 \ll \pi zT/3\hbar\gamma C_0 \leq k_F^3$, соответствующего области $(\hbar\Omega_1)^3/\epsilon_F^2 \ll zT \ll \epsilon_F$, вклад парамагнитной области в поперечную флуктуацию равен

$$\langle m_{0\perp}^2 \rangle = \frac{(zT)^{4/3}}{C_0^{4/3} (\hbar\gamma)^{1/3}} \frac{\alpha_1}{\pi^2}, \quad \alpha_1 = \left(\frac{\pi}{3}\right)^{1/3} \frac{2\pi}{3\sqrt{3}} \simeq 1.23. \quad (5)$$

Выражение (5) совпадает с выражением для $\langle m_{0\perp}^2 \rangle$, полученным в [14] с точностью до коэффициента 2, обусловленного учетом двухкомпонентности. Важно подчеркнуть, что правая часть (5) не зависит явно от $\chi_{0\perp}$. Этот факт делает несущественным учет влияния флуктуаций на поперечную динамическую восприимчивость в указанной области температур. В случае $3\hbar\gamma C_0 q_{sw}^2/\pi zT \gg 1$ вклад парамагнитной области в $\langle m_{0z}^2 \rangle$ равен

$$\langle m_{0z}^2 \rangle = (zT)^2/6\pi\gamma\hbar C_0^2 q_{sw}^2.$$

Определим теперь величину парамагнитного вклада в средний квадрат продольной магнитной флуктуации $\langle m_{0z}^2 \rangle$. Обратная величина динамической продольной магнитной восприимчивости равна

$$\chi_{0z}^{-1}(q, \omega) = 2\chi_{0z}^{-1}(q) [1 - i\omega\Gamma_z^{-1}(q)], \quad \Gamma_z(q) = q\gamma\chi_{0z}(q), \quad \chi_{0z}^{-1}(q) = \chi_{0z}^{-1} + C_0 q^2,$$

где

$$\chi_{0z}^{-1} = \partial B/\partial M_0 = A_0 + (\partial A_0/\partial M_0) M_0 + 3bM_0^2 = (\partial A_0/\partial M_0) M_0 + 2bM_0^2.$$

Для слабых магнетиков A_0 не зависит от M_0^2 и $\chi_{0z}^{-1} \simeq -2A_0$. Выражение для $\langle m_{0z}^2 \rangle$ дается теперь соотношением (4) с заменой $x_1 \rightarrow 0$, индекса « \perp » на « z » и $\chi_{0\perp}^{-1}$ на $\chi_{0z}^{-1} = -2A_0$, $\xi_z = 3\hbar\gamma/\pi zT C_0^{1/2} \chi_{0z}^{3/2}$. При выполнении условия $\xi_z \ll 1$, соответствующего области вблизи критической температуры, когда справедливо неравенство $|B_+| \ll (zT/24\sqrt{3}\epsilon_F)^{2/3} \pi^{4/3}/2$, вклад в продольную магнитную флуктуацию $\langle m_{0z}^2 \rangle$ равен

$$\langle m_{0z}^2 \rangle = \frac{zT}{\pi^2 \chi_{0z}^{1/2} C_0^{3/2}} \frac{2\pi}{3\sqrt{3}} \xi_z^{-1/3} = \frac{(zT)^{4/3}}{C_0^{4/3} (\hbar\gamma)^{1/3}} \frac{\alpha_1}{\pi^2}$$

и совпадает с вкладом (5) от поперечной флуктуации. В случае $\xi_z \gg 1$, отвечающем области вдали от T_c , когда $|B_+| \geq (\pi^2/2) \times (\pi T/24\sqrt{3}\epsilon_F)^{1/2}$, вклад парамагнитной области в продольную флуктуацию равен

$$\langle m_{0z}^2 \rangle = \frac{\pi T}{\pi^2 \chi_0^{1/2} C_0^{3/2}} \frac{1}{2\xi_z} \simeq \frac{(\pi T)^2 |\chi_0|}{12\pi C_0 \hbar \gamma}.$$

Указанная выше область температур, в которой возникает вклад $\sim T^2$ от продольных флуктуаций, шире, чем область, дающая вклад $\sim T^2$ от поперечных флуктуаций. Вклад в температурную зависимость коэффициентов в свободной энергии (1) от восприимчивости $\chi_{Qz}(q, \omega)$ меньше в b_z/ϵ_F раз вклада от $\chi_{0z}(q, \omega)$ и поэтому несуществен. В области низких температур, когда $\pi T \ll \hbar\omega_0(q_{sw})$, можем вычислить вклад в средний квадрат поперечной магнитной флуктуации от спиновых волн. Такой вклад, как было впервые показано в [19], зависит от температуры как T^3 , и, согласно нашим вычислениям, равен

$$\langle m_{0\perp}^2 \rangle = \chi_p k_F^3 (\pi T)^{3/2} (\hbar\Omega_1)^{-1/2} 12^{3/2} \pi^{-2} \Gamma(3) \zeta(3). \quad (6)$$

Вклад магнонов в $\langle m_{Q\perp}^2 \rangle$ в b_z/ϵ_F раз меньше, чем значение выражения (6). В случае антиферромагнитного основного состояния в области низких температур $\pi T \ll \hbar s_a k_F (\hbar\Omega_1/\epsilon_F) = (\hbar\Omega_1/\epsilon_F)^2 \sqrt{\psi/6(\bar{\psi} - \psi)}$ вклад антиферромагнонов пропорционален четвертой степени температуры и равняется

$$\langle m_{Q\perp}^2 \rangle = \chi_p (\pi T)^4 / (\pi s_a)^3 \cdot 60.$$

Мы пренебрегаем при дальнейшем рассмотрении вкладом антиферромагнитных флуктуаций $\sim T^4$.

3. Для определения основного состояния магнетика при различных температурах приведем здесь выражение для свободной энергии (1) в следующем виде:

$$V^{-1}F(T, V, M_0, M_Q) = V^{-1}F_0 + \chi_0^{-1}(T) M_0^2/2 + \chi_Q^{-1}(T) M_Q^2/2 + \gamma_u M_0^4/4 + \gamma_s M_Q^4/4 + \frac{M_0^2 M_Q^2 \gamma_{us}}{2}. \quad (7)$$

Здесь

$$\chi_0^{-1}(T) = \\ = \chi_0^{-1} \begin{cases} 1 - (T/T_1)^{4/3}, & \text{если } |B_+| \chi_0 \chi_0^{-1}(T) \simeq |B_+| [1 - (T/T_1)^{4/3}] \ll (\pi^2 \pi T / \epsilon_F 24 \sqrt{3})^{1/2} 2^{-1}, \\ 1 - (T/T_u)^2, & \text{если } |B_+| \chi_0 \chi_0^{-1}(T) \simeq |B_+| [1 - (T/T_u)^2] \geq (\pi^2 \pi T / \epsilon_F 24 \sqrt{3})^{1/2} 2^{-1}, \\ 1 - (T/T_3)^{3/2}, & \text{если } \pi T < (\hbar\Omega_1)^3 / \epsilon_F^2. \end{cases}$$

Введены обозначения

$$T_u = \pi^{-1} [-\gamma_u \chi_0]^{-1/2} [4\pi C_0 \hbar \gamma / |\chi_0|]^{1/2}, \quad T_3 = \pi^{-1} [\hbar\Omega_1]^{1/2} [4\gamma_u \chi_0 \chi_p \Gamma(3) \zeta(3) k_F^3]^{1/2} \pi^{4/3} / 12 \delta_{Q,\Omega}, \\ T_1 = [-\pi^2 / 5 \alpha_1 \gamma_u \chi_0]^{3/4} C_0 \pi^{-1} [\hbar \gamma]^{1/4}.$$

Здесь $\alpha_1 = 1.23$. Коэффициент перед M_Q^2 в (7) равен

$$\chi_Q^{-1}(T) = \\ = \chi_Q^{-1} \begin{cases} 1 - (T/T_2)^{4/3}, & \text{если } |B_-| \chi_Q \chi_Q^{-1}(T) \simeq |B_-| [1 - (T/T_2)^{4/3}] \ll [\pi^2 \pi T / 24 \sqrt{3} \epsilon_F]^{1/2} 2^{-1}, \\ 1 - (T/T_s)^2, & \text{если } |B_-| \chi_Q \chi_Q^{-1}(T) = |B_-| [1 - (T/T_s)^2] \geq [\pi^2 \pi T / 24 \sqrt{3} \epsilon_F]^{1/2} 2^{-1}, \\ 1 - (T/T_s)^{3/2}, & \text{если } \pi T < (\hbar\Omega_1)^3 / \epsilon_F^2. \end{cases}$$

Здесь введены обозначения

$$T_s = \pi^{-1} [24\pi C_0 \hbar \gamma / \gamma_{us} \chi_Q \chi_0]^{1/2}, \quad T_5 = T_3 [2\gamma_u \chi_0 / \gamma_{us} \chi_Q]^{2/3}, \quad T_2 = C_0 [-\pi^2 / 5 \alpha_2 \gamma_{us} \chi_Q]^{3/4} [\hbar \gamma]^{1/4} \pi^{-1},$$

$\alpha_2 = 0.3 \alpha_1$. Если использовать для входящих в T_0, T_1, T_u величин значения ν, π, k_F , отвечающие сплаву Y_2Ni_7 [6, 10], то можно убедиться, что

основной вклад в температурную зависимость коэффициентов в свободной энергии (7) вносят флуктуационные эффекты, т. е. $T_1 \ll T_0$ и $T_u \ll T_0$. Действительно, согласно определениям,

$$\frac{T_0}{T_1} = \sqrt{C_+} \sqrt{\frac{\nu'' - 3\nu'^2/\nu}{\nu'' - \nu'^2/\nu}} \left[\frac{\chi_p k_F^2}{M_0^3 \nu^2 \hbar v} \right]^{1/4} \left(\frac{3 \cdot 5^2}{\pi^3} \right)^{1/4} \frac{1}{4} \simeq 10^2.$$

В силу того что вблизи критической температуры $\chi_0 \chi^{-1}(T) \simeq 1 - (T/T_1)^4$, а $T_1 \ll T_0$, критическая температура $T_c \simeq T_1$. Сравнение T_1 и T_0 показывает, что

$$\frac{T_0}{T_u} = \frac{\sqrt{3}}{2\pi} \sqrt{\left| \frac{C_+(\nu'' - 3\nu'^2/\nu)}{B_+(\nu'' - \nu'^2/\nu)} \right|} \sqrt{\frac{k_F^2}{\hbar v \nu}} \simeq (5 \div 8) \cdot 10^2$$

основной вклад в $\chi_0^{-1}(T)$ вдали от T_c также связан с флуктуационными эффектами.

На основе анализа (7) можно устранить имеющиеся ранее противоречия в объяснении формы кривой ТММ для Y_2Ni_7 . Считаем, что при $T > T_c = 58$ К сплав находится в парамагнитном состоянии, при $40 \text{ K} = T_A < T < T_F$ — в ферромагнитном, при $7 \text{ K} = T_A < T < T_F$ — в ферримагнитном и при $T < T_A$ — в антиферромагнитном состоянии. Такой порядок следования фаз может быть получен из анализа условий равновесия $\partial F / \partial M_0 = \partial F / \partial M_\vartheta = 0$

$$[\chi_0^{-1}(T) + \gamma_{us} M_\vartheta^2] M_0 + \gamma_u M_0^3 = 0, \quad [\chi_0^{-1}(T) + \gamma_{us} M_0^2] M_\vartheta + \gamma_s M_\vartheta^3 = 0,$$

вытекающих из условия (7). Впервые такой анализ был проведен в [2], и там же показано, что для возникновения ферримагнитного состояния в интервале температур $T_A < T < T_F$ необходимо выполнение условия

$$\gamma_{us}/\gamma_s < \chi_0(T)/\chi_0(T) < \gamma_u/\gamma_{us} \quad \text{при } T_A < T < T_F.$$

Подчеркнем здесь, что именно наличие ферримагнитной фазы при $T_A < T < T_F$ позволяет теоретически объяснить форму кривой $M(T)$, полученную в экспериментах [10, 20]. Уравнения для определения T_F и T_A имеют следующий вид:

$$\chi_0(T_F)/\chi_0(T_F) = \gamma_u/\gamma_{us}, \quad \chi_0(T_A)/\chi_0(T_A) = \gamma_{us}/\gamma_s.$$

Ниже мы приведем явный вид этих уравнений, определяющих T_F и T_A для сплава Y_2Ni_7 .

4. При обсуждении возможности интерпретации экспериментальных данных [10, 20] на основе нашей модели мы ставим перед собой задачу определения фермижидкостных параметров для Y_2Ni_7 и описания формы кривой $M(T)$. В работах [9–11, 20, 21] приведены экспериментальные значения следующих семи параметров для Y_2Ni_7 : плотность состояний $\nu = 0.54$ [eV Ni at.]⁻¹; $T_c = 58$ К; $T_F = 40$ К; $T_A = 7$ К; наибольшее значение ТММ при $T_F = 40$ К в единицах 2β , равное $10^{-2} = M/\beta = [24\nu^3 (1 - (40/58)^2)] B_+ |f_+|$, где $f_+ = C_+(\nu'' - 3\nu'^2/\nu)$; магнитная восприимчивость при $T = 4.2$ К $\chi_{AF} \beta^2 \nu = -2.7 \cdot 10^{-3}$; коэффициент электронной теплоемкости $\gamma_{AF} = 2.48 \text{ mJ/mol Ni K}^2$. В силу того что при $T = T_F = 40$ К выполняется неравенство

$$|B_+| [1 - (40/58)^2] \geq \left(\pi^2 / 24 \sqrt{3} \right) \nu_F^{1/3} 2^{-1}, \quad (8)$$

вблизи T_F следует использовать квадратичную зависимость $(T/T_{us})^2$ для описания температурного поведения $\chi_0(T)$ и $\chi_\vartheta(T)$. Выполнение неравенства (8) обеспечивается тем, что, как показано ниже, $|B_+| \sim 3 \cdot 10^{-3}$ для Y_2Ni_7 . При выполнении (8) уравнения для определения T_F и T_A принимают вид

$$B_+ [1 - (T_F/T_u)^2] / B_- [1 - (T_F/T_s)^2] = \sqrt{C_+} (\nu'' - 3\nu'^2/\nu) / 3 \sqrt{C_-} (\nu'' - \nu'^2/\nu) = \gamma_u/\gamma_{us}, \quad (9)$$

$$B_+ [1 - (T_A/T_u)^2] / B_- [1 - (T_A/T_s)^2] = 3 \sqrt{C_+} (\nu'' - \nu'^2/\nu) / \sqrt{C_-} (\nu'' - 3\nu'^2/\nu) = \gamma_{us}/\gamma_s. \quad (10)$$

Из соотношения $\chi_{AF}^{-1} = -(B_-/\beta^2\nu) [1 - (4.2/T_s)^2]$ после подстановки входящих величин находим

$$2.7 \cdot 10^{-3} = \beta^2\nu/\chi_{AF} = -B_- [1 - 1.57 \cdot 10^{-3} \gamma_{us} B_+ / \gamma_u B_-].$$

Малость второго слагаемого в квадратной скобке позволяет получить значение $B_- = -2.7 \cdot 10^{-3}$. Такая малость подтверждается тем, что $\gamma_{us} B_+ / \gamma_u B_- \sim 1$, как мы сейчас установим. Из определения коэффициента электронной теплоемкости γ_{AF} следует, что

$$\gamma_{us}/\gamma_s = [3\gamma_{AF}/2(\pi\nu)^2 - 1] 2\pi^2\hbar\nu\nu/15B_-k_F^2 = 1.27.$$

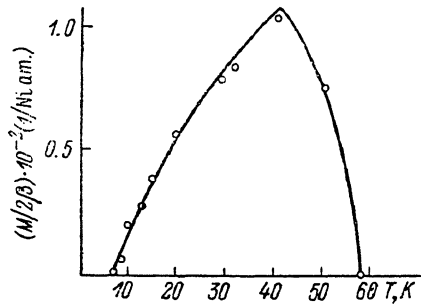
Из (9) находим

$$(\gamma_{us} B_+ / \gamma_u B_-) [1 - (40/58)^2] [1 - (40/58)^2 3\gamma_{us} B_+ / 10\gamma_u B_-]^{-1} = 1,$$

откуда $\gamma_{us} B_+ / \gamma_u B_- = 1.50$. Подстановка такого значения в уравнение (10) для T_A дает $\gamma_u B_+ / \gamma_{us} B_- = 1.01$. Отсюда $B_+ = B_- \cdot 1.01$ $\gamma_{us}/\gamma_s = B_- \cdot 1.28 = -3.46 \cdot 10^{-3}$.

Из соотношения для M/β находим $B_+/f_+ = 0.51 \cdot 10^{-4}$, $f_+ = -0.68 \cdot 10^2$. Используя $B_+/B_- = 1.28$, находим $C_+/C_- = 2.19$, $f_- = -0.31 \times 10^2$. Величину $\lambda = \nu'' - \nu'^2/\nu$ можно определить, если использовать оценку $T_0 > T_u$, T_c . Отсюда $|\lambda| \leq 0.45 \cdot 10^2$. Используя $\lambda = -0.45 \times$

Сравнение теоретической зависимости (21) $M(T)$ (сплошная линия) с экспериментальными значениями (точки) из [9, 20].



$\times 10^2$, находим $C_+ = 0.46$, $C_- = 0.21$. Значения f_+ и λ приведены в единицах [$eV^3 Ni$ ат.] $^{-1}$. Вычисленные значения фермийских параметров и значения комбинаций производных плотности состояний позволяют построить график теоретической зависимости $M(T)$ и сравнить его с экспериментальными значениями. На рисунке продемонстрирована зависимость

$$M(T) = 10^{-2} \cdot \begin{cases} 1.82 [1 - (T/58)^{4/3}]^{1/2}, & 50 \text{ K} < T < 58 \text{ K}, \\ 1.52 [1 - (T/58)^2]^{1/2}, & 40 \text{ K} < T < 50 \text{ K}, \\ 0.20 [(T/7)^2 - 1]^{1/2}, & 7 \text{ K} < T < 40 \text{ K}. \end{cases} \quad (11)$$

Точками показаны экспериментальные значения. Согласие нашей теоретической кривой (11) с экспериментом существенно лучше, чем на рис. 8 из [9]. Величина локального магнитного момента M при $T=7$ К равна (в единицах β)

$$\frac{M_\varrho}{\beta} = \left[\frac{24\nu^2 (1 - (7/40)^{4/3}) B_-}{f_-} \right]^{1/2} = 1.7 \cdot 10^{-2}.$$

Полученные значения B_+ и B_- позволяют определить величины $B = -1.0031$ и $B = -0.0028$ констант внутризонного и межзонного взаимодействия.

Автор выражает благодарность В. П. Силину за обсуждение работы ■ И. Принхалтеру за помощь в численных расчетах.

Список литературы

- [1] Патапинский А. З., Покровский В. Л. Флуктуационная теория фазовых переходов. М., 1982. 381 с.
- [2] Moriya T., Usami K. // Sol. St. Comm. 1977. V. 25. N 11. P. 935.
- [3] Пономарев Б. К. // ЖЭТФ. 1972. Т. 63. № 1. С. 199–204.
- [4] Толкачев О. М. // ФММ. 1988. Т. 66. № 6. С. 1089–1096.
- [5] Shimizu M. // Proc. Phys. Soc. 1965. V. 86. N 1. P. 147–157.

- [6] Gignoux D., Givord D., del Moral A. // Sol. St. Comm. 1976. V. 19. N 9. P. 891—893.
- [7] Гребенников В. И., Прокопьев Ю. И., Соколов О. Б., Туров Е. А. // ФММ. 1982. Т. 54. № 5. С. 896—908.
- [8] Moriya T. // J. Phys. Soc. Jap. 1982. V. 51. N 9. P. 2806—2818.
- [9] Shimizu M., Inoue J., Nagasawa S. // J. Phys. F: Met. Phys. 1984. V. 14. N 12. P. 2673—2687.
- [10] Gignoux D., Givord F., Lemaire R., Tasset F. // J. Less-Common Met. 1983. V. 94. N 1. P. 1—15.
- [11] Moriya T. // J. Phys. Soc. Jap. 1986. V. 55. N 1. P. 357—366.
- [12] Stoner E. C. // Proc. Roy. Soc. A. 1936. V. 154. P. 656—678.
- [13] Силин В. П. // Физика многочастичных систем. Киев, 1984. С. 37—51.
- [14] Lonzarich G. G., Taillefer L. // J. Phys. C. Sol. St. Phys. 1985. V. 18. N 22. P. 4339—4371.
- [15] Мория Т. Спиновые флуктуации в магнетиках с коллективизированными электронами. М., 1988. 287 с.
- [16] Милюков Ю. А., Толкачев О. М. // ФММ. 1984. Т. 57. № 4. С. 652—657.
- [17] Милюков Ю. А., Толкачев О. М. // ФММ. 1985. Т. 60. № 4. С. 661—670.
- [18] Ramakrishnan T. V. // Phys. Rev. 1974. V. B 10. N 3. P. 4014—4024.
- [19] Дзялошинский И. Е., Кондратенко П. С. // ЖЭТФ. 1976. Т. 70. № 5. С. 1987—2005.
- [20] Gignoux D. // J. Appl. Phys. 1981. V. 52. N 3. P. 2087—2089.
- [21] Труды ИОФАН. М., 1986. Т. 3. 152 с.

Физический институт
им. П. Н. Лебедева АН СССР
Москва

Поступило в Редакцию
13 июня 1988 г.
В окончательной редакции
29 сентября 1988 г.